

<論 文>

노치 (Notch)를 가진 試片의 有限要素法에 의한
彈塑性 極限 荷重解析

李 澤 淳* · 金 東 爲* · 黃 平*

(1983年 6月 10日 接受)

Elastic-Plastic Limit Load Analysis of Notched Specimen by the Finite Element Method

Taik Soon Lee, Dong Sub Kim and Pyung Hwang

Abstract

Many papers have shown limit loads of v-notched tension specimens in plane stress by the elastic-plastic finite element method.

But they are always higher than the theoretical maximum loads.

The present approach tries to find the reasons and formulates correction factor applicable to any notch shape using virtual work principle with triangular elements.

The corrected limit loads are in good agreement with theoretical upper bound solutions and they are little influenced by mesh size and specimen length, which make the computing time save.

—기 호 설 명—

A_i^e	: 요소면적	$\{d\delta\}$: 변위 증분 행렬
A_s	: 최소 단면의 단면적	$\varepsilon_{ij}, \varepsilon_p$: 변형률, 소성 변형률
a	: 최소 단면의 반폭	G	: 전 단계수
$[B]$: 절점변위 변형률 행렬	H'	: 변형률 경화률
b_i, b_j, b_k	: 절점변위—변형률 행렬의 성분	h_e	: 한 요소의 길이
C_s	: 수정계수	$[K]$: 강성형렬
C_σ	: 표면외력 구속경계	N	: 최소단면 주위의 요소수
C_u	: 변위 구속경계	N_t	: 형상합수
c_i, c_j, c_k	: 절점변위—변형률 행렬의 성분	P_{cn}	: 유한요소법에 의한 극한하중
C_{ijkl}	: 응력—변형률 비례상수	P_{yt}	: 절점하중
$[D^e]$: 탄성상태의 응력—변형률 행렬	T_i	: 표면력
$[D^s]$: 소성 상태의 응력—변형률 행렬	t	: 두께
		U_i	: 변위
		V_n	: 최소 단면부에 있는 요소들의 체적
		$\sigma_{ij}, \bar{\sigma}$: 응력, 상당응력
		\triangle	: 삼각형 요소의 면적
		δB_i	: 체적력

* 正會員, 嶺南大學校 工科大學

1. 緒論

最近 船舶이나 航空機 等의 構造物에 대한 經濟性追求의 傾向과 아울러 強度에 對한 安全性을 고려한 設計上의 배려가 강력히 要求되고 있다.

實際의 構造物에는 部材의 不連續部, 有孔部 혹은 노치부 등에 發生하는 높은 應力으로 塑性變形이 유발되고 이로 인하여 構造物의 耐荷能力이 저하되어 安全性을 위협하는 경우가 적지 않다.

이러한 構造物의 安全率을 정확히 評價하기 위하여 缺陷部의 最小斷面의 最終強度를 決定하는 極限荷重을 구할 必要가 있고 이러한 문제는 線型解析으로는 不可能하여 非線型解析에 관한 많은 노력이 경주되어 왔다.

특히 노치의 경우 Hill^{1,12)}이 Slip line理論으로 이問題를 解析하였으나, 이 方法으로는 노치의 形狀이나 界條件이 比較的 간단한 경우에만 적용될 수 있었다.

그러나 最近에 이르러 電子計算機의 發達로 인하여 數值解析法의 하나인 有限要素法을 彈性線型解析^{3,4)}에서 부터 확장하여 非線型解析^{5,6,7)}에 까지 적용시킬 수 있게 되었다.

Yamada¹⁰⁾는 이러한 方法으로 V-노치를 가진 彈完全塑性體에 對한 極限荷重解析을 하였으나, 그 값은 理論的 上限值인 Hill의 解²⁾보다 다소 크게 나타났고 그 후 Zienkiewicz⁹⁾는 塑性域에서 應力修正法을 導入한 해석으로 Yamada의 解보다도 좋은 결과를 얻었으나 역시 Hill의 解보다 큰 값을 나타내었다.

Knothe¹¹⁾는 이러한 差異를 有限要素解析의 數式自體에서 發生하는 分割誤差에 依해서 생긴다고 보고 이에 對한 修正係數를 導入하여 V-노치의 경우를 極限荷重解析하여 比較的 좋은 結果를 얻었다.

本研究에서는 任意形狀의 노치를 가진 평판의 平面應力問題에 對하여 彈塑性有限要素解析^{7,13)}을 하고, 그 노치에適用될 수 있는 분할오차에 대한 修正係數를 가상일의 原理⁸⁾로 부터 數式化하여 解析結果를 修正함으로써 材料의 極限荷重值을 求하였다.

2. 基本理論

2.1. 彈塑性 理論

物體가 彈性界限을 넘으면 塑性變形이 일어나고 이 때에 應力과 變形率의 관계는 彈性에서의 경우와 달라 진다. 그러므로 이 彈性界限을 定하는 降伏條件 및 構成方程式을 決定하기 위하여 다음과 같은 假定을 한다.

- 1) 材料는 均質이며 等方性이다.
- 2) Von Mises 降伏條件式을 適用한다.
- 3) 増分理論(incremental theory)을 사용한다.
- 4) 應力과 變形率 관계에 Prandtl-Reuss 假說을 啓用한다.

2.2. 有限要素解析

(1) 形狀函數(shape function)

임의의 要素에 節點變位와 節點力이 作用한다면 要素 내부의 變位를 간단한 變位 mode로 假定할 수 있다. 즉 要素内部의 임의의 점(x, y)에서의 變位(u, v)를 그 要素의 節點變位로 나타내면 다음과 같으며

$$\begin{bmatrix} u \\ v \end{bmatrix} = \left\{ N(x, y) \right\}^T \begin{bmatrix} \delta \end{bmatrix} \quad (1)$$

三角形 要素에 대해서 나타내면 다음과 같다.

$$\begin{bmatrix} \delta u \\ \delta v \end{bmatrix} = \begin{bmatrix} N_i & 0 & N_j & 0 & N_k & 0 \\ 0 & N_i & 0 & N_j & 0 & N_k \end{bmatrix} \begin{bmatrix} du_i \\ dv_i \\ du_j \\ dv_j \\ du_k \\ dv_k \end{bmatrix} = [N] \{d\delta\} \quad (2)$$

여기서

$$\begin{aligned} N_i &= (a_i + b_i X + c_i Y) / 2\Delta \\ N_j &= (a_j + b_j X + c_j Y) / 2\Delta \\ N_k &= (a_k + b_k X + c_k Y) / 2\Delta \\ a_i &= X_j - X_k, \quad b_i = Y_j - Y_k, \quad c_i = X_k - X_j \\ a_j &= X_k - X_i, \quad b_j = Y_k - Y_i, \quad c_j = X_i - X_k \\ a_k &= X_i - X_j, \quad b_k = Y_i - Y_j, \quad c_k = X_j - X_i \\ (i, j, k) &: 1, 2, 3 \text{ permutation} \end{aligned} \quad (3)$$

다음, 要素의 變位增分과 變形率 增分 사이에는 아래와 같은 단계가 있다.

$$\{d\varepsilon\} = \begin{bmatrix} d\varepsilon_x \\ d\varepsilon_y \\ dr_{xy} \end{bmatrix} = \begin{bmatrix} \frac{\partial(du)}{\partial x} \\ \frac{\partial(dv)}{\partial y} \\ \frac{\partial(dv)}{\partial x} + \frac{\partial(du)}{\partial y} \end{bmatrix} \quad (4)$$

위의 式에 式 (2)를 代入하면

$$\{d\varepsilon\} = \begin{bmatrix} b_i & 0 & b_j & 0 & b_k & 0 \\ 0 & c_i & 0 & c_j & 0 & c_k \\ c_i & b_i & c_j & b_j & c_k & b_k \end{bmatrix} \begin{bmatrix} du_i \\ dv_i \\ du_j \\ dv_j \\ du_k \\ dv_k \end{bmatrix} = [B] \{d\delta\} \quad (5)$$

로 된다.

式 (5)의 matrix [B]는 彈性과 塑性을 통하여 同一하다.

(2) 構成方程式

가. 彈性領域

材料가 彈性일 때의 構成方程式은 Hook의 法則에 의

하면

$$\sigma_{ij} = C_{ijkl}\varepsilon_{kl} \quad (6)$$

으로 되고, 이를 平面應力問題(plane stress)로 單純화 하여 增分型으로 나타내면 다음과 같다.

$$\begin{bmatrix} d\sigma_x \\ d\sigma_y \\ d\tau_{xy} \end{bmatrix} = \frac{E}{1-\nu^2} \begin{pmatrix} 1 & \nu & 0 \\ \nu & 1 & 0 \\ 0 & 0 & \frac{1-\nu}{2} \end{pmatrix} \begin{bmatrix} d\varepsilon_x \\ d\varepsilon_y \\ d\tau_{xy} \end{bmatrix} \quad (7)$$

$$\{d\sigma\} = [D^e] \{d\varepsilon\}$$

나. 塑性領域

塑性領域에서 全變形率 增分을 彈性變形率 增分과 塑性變形率 增分의 合으로 다음과 같이 表示된다.

$$d\varepsilon_{ij} = d\varepsilon_{ij}^e + d\varepsilon_{ij}^p \quad (8)$$

塑性變形率 增分 $\{d\varepsilon^p\}$ 는 plastic potential에 의해 다음과 같이 쓸 수 있다.

$$d\varepsilon^p = h \left\{ \frac{\partial f}{\partial \sigma} \right\} df \quad (9)$$

여기서 h 는 응력, 변형률, loading history에 의존하는 비례상수이다.

式 (8)과 증분이론으로부터

$$\{d\sigma\} = [D^e] \{d\varepsilon\} = [D^e] \{d\varepsilon\} - [D^e] \{d\varepsilon^p\} \quad (10)$$

i) 成立되고 式 (10)에 式 (9)를 代入하면 다음과 같다.

$$\{d\sigma\} = [D^e] \{d\varepsilon\} - h [D^e] \left\{ \frac{\partial f}{\partial \sigma} \right\} df \quad (11)$$

다음에 塑性變形으로 인한 塑性일은 다음과 같고

$$dW^p = \{\sigma\}^T \{d\varepsilon^p\} = h \{\sigma\}^T \left\{ \frac{\partial f}{\partial \sigma} \right\} df \quad (12)$$

이를 相當應力과 相當變形率增分으로 表示하면 다음과 같다.

$$dW^p = \{\sigma\}^T \{d\varepsilon^p\} = \bar{\sigma} d\varepsilon^p \quad (13)$$

式 (13)에 式 (12)를 代入하여 hdf 를 求하면

$$hdf = \frac{\bar{\sigma}}{\{\sigma\}^T \left\{ \frac{\partial f}{\partial \sigma} \right\}} d\varepsilon^p \quad (14)$$

으로 表示된다.

그리고 變形率 硬化假說에 의하면 塑性變形의 기울기 H' 는

$$H' = \frac{d\bar{\sigma}}{d\varepsilon^p} \quad (15)$$

로 되며 式 (15)를 式 (14)에 代入하고 Von-Mises 항 복조전식 $f = \bar{\sigma}$ 를 적용하여 hdf 를 구하면

$$hdf = \frac{\bar{\sigma}}{\{\sigma\}^T \left\{ \frac{\partial f}{\partial \sigma} \right\}} \cdot \frac{\left\{ \frac{\partial f}{\partial \sigma} \right\}^T \{d\sigma\}}{H'} \quad (16)$$

이고 式 (16)을 式 (11)에 代入하여 다시 hdf 를 구하면 다음과 같다.

$$hdf = \frac{\{\partial f / \partial \sigma\}^T [D^e] \{d\varepsilon\}}{H'/C + \{\partial f / \partial \sigma\}^T [D^e] \{\partial f / \partial \sigma\}} \quad (17)$$

$$\text{여기서 } \frac{\bar{\sigma}}{\{\sigma\}^T \{\partial f / \partial \sigma\}} = C \text{이다.}$$

式 (17)을 式 (11)에 代入하면

$$\{d\sigma\} = \left[[D^e] - \frac{[D^e] \{\partial f / \partial \sigma\} \{\partial f / \partial \sigma\}^T [D^e]}{H'/C + \{\partial f / \partial \sigma\}^T [D^e] \{\partial f / \partial \sigma\}} \right] \{d\varepsilon\}$$

$$\text{즉 } \{d\sigma\} = [D^p] d\varepsilon \quad (18)$$

으로 쓸 수 있다.

Von Mises 降伏條件式은 다음과 같고

$$f^2 = \frac{1}{2} [(\sigma_x - \sigma_z)^2 + (\sigma_z - \sigma_x)^2 + (\sigma_x - \sigma_y)^2 + 6(\tau_{xy}^2 + \tau_{yz}^2 + \tau_{zx}^2)] = \bar{\sigma}^2 \quad (19)$$

이를 利用하여 式 (18)의 各 項들을 計算하여 $[D^p]$ 行列을 나타내면 다음과 같다.

$$[D^p] = [D^e] - \frac{9G^2}{S_0} \begin{pmatrix} \sigma_x^2 & & \text{SYM.} \\ \sigma_x' \sigma'_x & \sigma_y'^2 & \\ \sigma_x' \tau_{xy} & \sigma_y' \tau_{xy} & \tau_{xy}^2 \end{pmatrix} \quad (20)$$

$$\text{여기서 } S_0 = (H' + 3G)\bar{\sigma}^2 \text{이다.}$$

다. 剛性行列(stiffness matrix)

任意의 物體에 對하여 平衡方程式

$$\delta\sigma_{ij,ij} + \delta B_i = 0 \quad (21)$$

및 境界條件

$$T_i = \bar{T} = \sigma_{ij} n_j ; C_s \text{ 상} \quad (22)$$

$$U_i = \bar{U} ; C_u \text{ 상}$$

를 滿足하는 假想일의 原理는 다음과 같다.

$$\int_D B_i \delta u_i dt dx dy + \int_{C_s} T_i \delta u_i ds = \int_D \sigma_{ij} \delta \varepsilon_{ij} dV \quad (23)$$

式 (23)에 各 節點變位와 節點力을 代入하면

$$\{\delta F\} = \int_D [B]^T [D] [B] t dx dy \{d\delta\} \quad (24)$$

로 나타낸다. 즉

$$\{\delta F\} = [K] \{d\delta\} \quad (25)$$

로 表示하면 剛性行列(stiffness matrix) $[K]$ 는 다음과 같다.

$$[K] = \int_V [B]^T [D] [B] t dx dy \quad (26)$$

(3) 荷重 增分法

式 (26)에서 要素의 剛性行列이 定하여지면 이들을 組立하여 構造全體의 剛性行列 및 剛性方程式

$$\{dF\} = [K] \{d\delta\} \text{를 얻는다.}$$

彈・塑性問題에 對하여 荷重을 增分式으로 作用시켜 각 增分 段階에서 염어진 解를 그때까지의 解에 加算하여 外力에 對한 解를 求하여야 한다.

$$\text{즉 } \{F\}_i := \{F\}_{i-1} + \{dF\},$$

$$\{\delta\}_i := \{\delta\}_{i-1} + \{d\delta\}_i,$$

$$\{\sigma\}_i := \{\sigma\}_{i-1} + \{d\sigma\}_i,$$

$$\{\varepsilon\}_i := \{\varepsilon\}_{i-1} + \{d\varepsilon\}_i \quad (27)$$

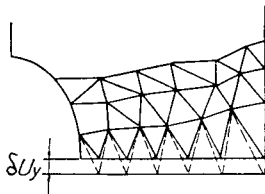


Fig. 1 Discretization error

여기서 $i, i-1$ 은 각각場分段階를 나타낸다.

그런데,荷重增分 $\{dF\}_i$ 를取하는方法은個個의要素을降伏시키는데必要한荷重增分量들을計算하여 그중 가장最小의荷重增分을擇하여그變形段階에서의荷重增分量으로擇한 Yamada의方法¹⁹⁾과 미리荷重增分을주는 Marcal¹⁵⁾의方法이 있는데本研究에서는Yamada의方法을使用하였다.

2.3. 修正係數의 數式化

Fig. 1에서 주어진 것과 같이 임의형의 노치를 가진試片의 노치부근의要素에 대하여 가상일의 원리를 적용하면 다음과 같다.

$$\sum_{i=1}^N P_{yi} \delta U_{yi} = \int_{V_n} \sigma_{ii} \delta \varepsilon_{ii} dV \quad (28)$$

平面應力狀態(plane stress)에서 노치부근의 요소에 대해서는 $\delta u_i = 1$ 의 가상변위를 주면 한개의 삼각형要素에 걸리는變形率成分은

$$\delta \varepsilon_{ii} = \{\delta \varepsilon_x, \delta \varepsilon_y, \delta r_{xy}\} = \{0, 1/h^*, 0\} \quad (29)$$

와 같이 되고 식 (28)을 한개의 요소에 대하여 다시 쓰면 다음과 같다.

$$P_{yi} = (\sigma_{ii} \cdot \frac{1}{h^*}) dV \quad (30)$$

이를 최소단면적 부근의 전 요소에 대하여 쓰면

$$\sum_{i=1}^N P_{yi} = \int_V \left(\sigma_{ii} \cdot \frac{1}{h^*} \right) dV = \sum_{i=1}^N \sigma_{ii} \cdot \frac{1}{h^*} t_i A_i \quad (31)$$

로 되고 여기서 σ_{ii} 를 다음과 같이 쓸 수 있다.

$$\sigma_{ii} \leq \sigma_{y, \max} = (2/\sqrt{3}) \sigma_y \quad (32)$$

이를 균일두께를 갖는 재료에 대하여 정리하면 다음과 같다.

$$\begin{aligned} P_{ci} &= \sum_{i=1}^N P_{yi} \leq \sum_{i=1}^N \frac{2}{\sqrt{3}} \sigma_y (t \cdot A_i / h_i) \\ &= \frac{2}{\sqrt{3}} \sigma_y \sum_{i=1}^N \left(\frac{A_i}{h_i} \right) / a \cdot t \end{aligned} \quad (33)$$

식 (33)에 나타난 바와 같이 수식 자체에 Hill의 이

론치($P_y = \frac{2}{\sqrt{3}} \sigma_y A_s$)보다 큰 값이 내재되어 있음을 알 수 있다.

여기서 분할오차를 고려한 수정계수를 임의 형상에 대하여 각 요소 별로 다음과 같이 정의함으로써 이론치와의 차이를 수정하도록 한다.

$$\begin{aligned} C_f &= P_{ci} / \left(A_s \cdot \frac{2}{\sqrt{3}} \sigma_y \right) \\ &= \sum_{i=1}^N \left(\frac{A_i}{h_i} \right) / a \end{aligned} \quad (34)$$

3. 計算例 및 考察

3.1. 프로그램의 構成

프로그램의構成은 Table 1에서와 같이 일반적인彈塑性問題의有限要素法의構成과 유사하며, Data Input 작업을 줄이기 위해 절점과 요소의 자동분할의 Subroutine과 극한하중의修正係數를 구하기 위한 Subroutine이 포함되어 있다.

INPUT에서節點座標,境界條件,要素番號,材料常數를入力시키면降伏되는 순서와降伏된 요소 그리고 그 상태에서의荷重値를出力시킨다.

3.2. 計算例 및 考察

본 프로그램을使用하여 먼저 Fig. 2에서와 같은 V-노치를 가진引張試片에對하여解析하였다.

그結果荷重(P)—變位(δ)曲線을 Fig. 3에 圖示하였다.

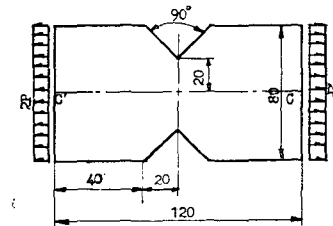
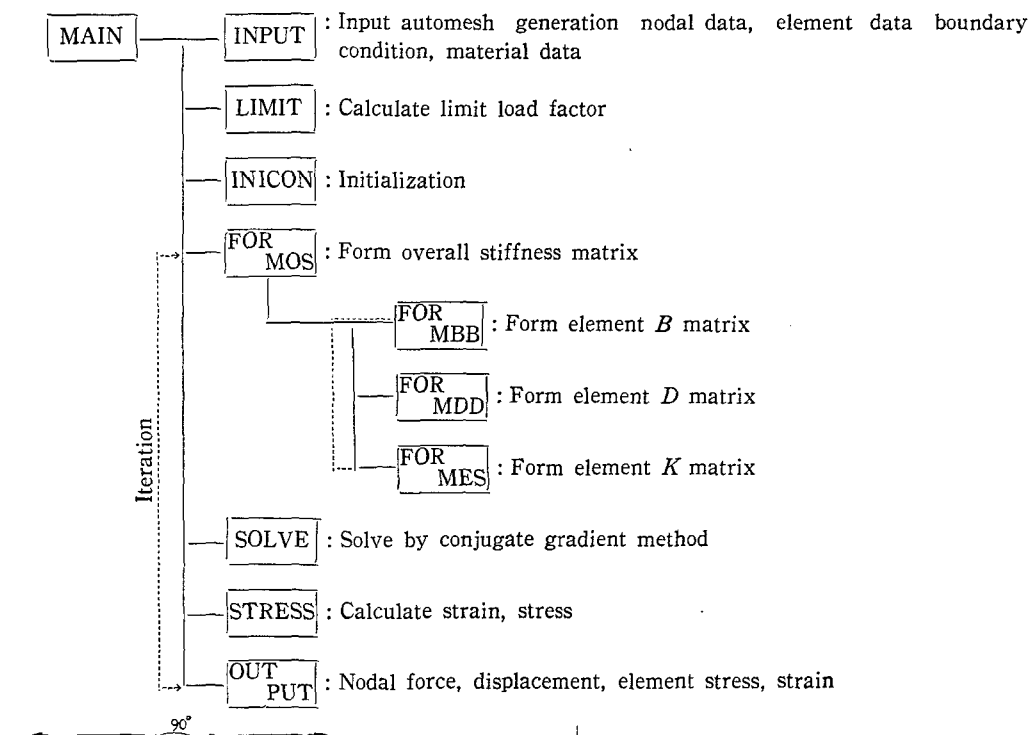
여기서곡선이급격히變하는점은塑性域이傳播되어처음으로중앙부에도달했을때이다.

그리고試片의最小斷面積部分전체가塑性域이되면그以上의荷重增加는극히적으므로이값을極限荷重値로취한다.

이結果는Hill이Slip line theory로계산한값과비교해서그값이다소크게나타남을알수있다.

Yamada는이결과가상승된이유를誠片의질이가有限하기때문에End Condition이노치주변의應力분포에영향을주기되어Hill의理論值보다다소커진다고했으나,End effect를조사하기위하여시편의질이를달리해서구해본결과極限荷重値는試片의질이變化에따른영향이극히적음을알수있었으며,이때구한極限荷重値를Fig. 4에나타내었고, Fig. 5는이때의中央部($C-C'$)의질이방향의應力분포를나타낸것이다.

Table 1 Flow chart



$t = 1\text{mm}$
 $E = 20000 \text{ Kg/mm}^2$
 $\sigma_y = 30 \text{ Kg/mm}^2$
 $\nu = 0.3$

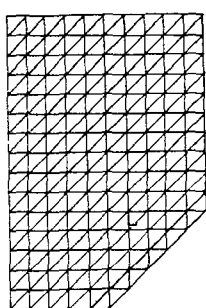


Fig. 2 Notched tension specimen and finite element

또 유한요소법으로 구한極限荷重值를 式 (34)에 주어진修正係數로 보정한 값을 Table 2에 나타내었다.

Table 2에서 보는 바와 같이 수정계수로 보정한 극한하중치는 요소의 수에 크게 영향을 받지 않음을 알

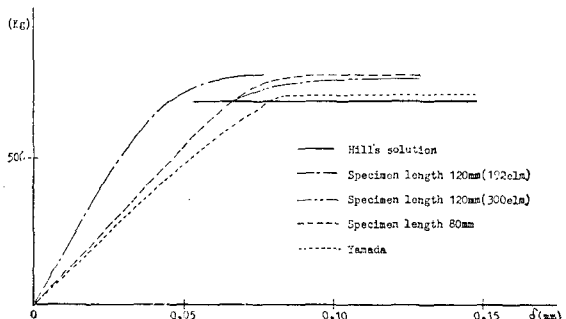


Fig. 3 Load-deflection cuvde of V-notched tension specimen

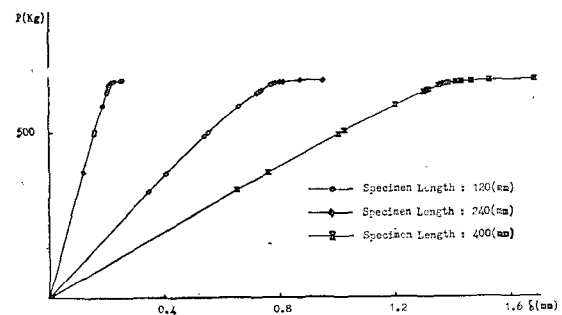


Fig. 4 Load-deflection curve of V-notched tension specimen at various length

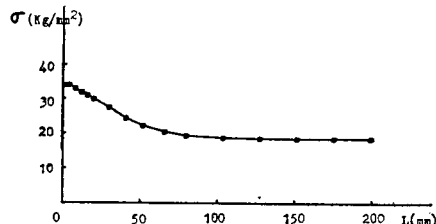


Fig. 5 Stress distribution along $C'-C$ at center line

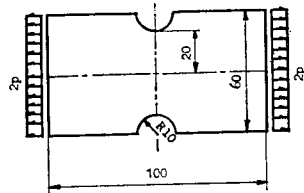


Fig. 6 U-notched tension specimen

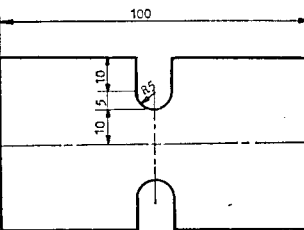


Fig. 7 U-notched tension specimen(deep)

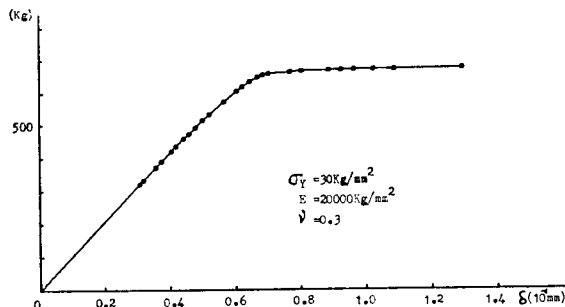


Fig. 8 Load-deflection curve of U-notched tension specimen

Table 2 V-Notched tension specimen comparision of numerical result

Method	Result (300 elm.)	Result (192 elm.)	Yamada's result	Knot-he's result	Zienkiewicz's result	Hill's solution
Value						
Computed limit load (Kg)	757.4	775.0	715.3	758.8	711.6	692.8
Corrected limit load (Kg)	688.5	688.9	—	686.8	—	
Constraint factor	1.147	1.148	1.192	1.149	1.186	1.152

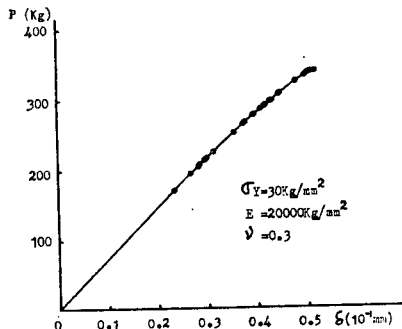


Fig. 9 Load-deflection curve of U-notched tension specimen(deep)

수 있다.

Fig. 6 과 Fig. 7 은 양측에 반원형을 갖는 U-노치 시편의 형상을 나타내며 U-노치 시편의荷重-變位曲線은 Fig. 8 과 Fig. 9 에 나타내고 있다.

Table 3 에는 U-노치 시편의 극한하중치를 수정계수로 구한 값을 나타내었다.

Table 3 U-Notched tension specimen comparison of numerical results

Value	Method	Result (1)	Hill's solution	Result (2)	Hill's solution
Computed limit load (Kg)		687.3		341	
Computed limit load (Kg)		678.0		337.3	339
Constraint factor		1.13	1.13	1.12	1.13

4. 結論

U-노치와 V-노치를 가진平板을有限要素法으로彈塑性解析을하고 각각의 形狀에 대한 수정계수로 極限荷重을修正하여 다음과 같은結果을 얻었다.

1. 같은材質의 試片은 노치의 形狀과 a/B 가 같으면 試片의 길이에 관계없이 極限荷重值은同一하다.

2. 有限要素法으로 구한 極限荷重值은 최소 단면적 전체에塑性域이傳播되었을 때 걸리는荷重이다.

3. 有限要素法으로求한 極限荷重值은 理論值보다 큰 값을 나타내는데 本研究에서求한修正係數로 보정하면 理論值과비교적 잘 맞고 要素의 數를 적게하여 계산 시간을 절약할 수 있다.

後記

本研究는 1982年度文教部 학술 연구 조성비에 의하여 연구되었으며 이에 감사하는 바입니다.

References

- (1) R. Hill, "Mathematical Theory of Plasticity", Chap. 9, pp.237-261, Oxford, London, 1950.
- (2) L.M. Kachanov, "Foundations of the Theory of Plasticity", pp. 256-292, North-Holland Publishing Company, 1971.
- (3) C.S. Desai, J.F. Abel, "Introduction to the Finite Element Method", Van-Nostrand Reinhold Company, 1972.
- (4) E. Hinton, D.R.J. Owen, "Finite Element Programming", Academic Press, London, 1977.
- (5) D.R.J. Owen, E. Hinton, "Finite Element in Plasticity", Pineridge Press, Swansea, 1980.
- (6) O.C. Zienkiewicz, "The Finite Element Method in Engineering Science", pp. 450-478, McGraw-Hill, London, 1971.
- (7) 山田嘉昭, 塑性・粘弾性, Chap. 3 pp. 75-147, 培風館, 1980.
- (8) F.A.M. McClintock, A.S. Argon, "Mechanical Behavior of Materials", Chap. 10, pp. 359-375, Addison-Wesley, Massachusetts, 1966.
- (9) G.C. Nayak, O.C. Zienkiewicz, "Elasto-Plastic Stress Analysis; A Generalization for Various Constitutive Relations Including Strain Softening", Int. J. for Num. Methods in Eng. Vol. 5, pp. 113-135, 1972.
- (10) Y. Yamada, N. Yoshimura, "Plastic Stress-Strain Matrix and Its Application for the Solution of Elastic-Plastic Problems by the Finite Element Method", Int. J. Mech. Sci. Vol. 10, pp. 343-354, 1968.
- (11) K. Knothe, W. Muller, "Some Remarks on the Elastic-Plastic Limit Load Analysis of a Plane V-notched Specimen", Int. J. Mech. Sci. Vol. 22, pp. 167-172, 1980.
- (12) D.J.F. Ewing, R. Hill, "The Plastic Constraint of V-notched Tension Bars", J. Mech. Phys. Solids, Vol. 15, pp. 115-124, 1967.
- (13) J.C. Nagtegaal, D.M. Parks, J.R. Rice, "On Numerically Accurate Finite Element Solutions. In the Fully Plastic Range, Computer Method in Applied Mechanics and Engineering", Vol. 4, pp. 153-177, 1974.